

УДК 629.7.023:539.4:384.4

## ИССЛЕДОВАНИЕ НЕЛИНЕЙНОГО ДЕФОРМИРОВАНИЯ И УСТОЙЧИВОСТИ ЦИЛИНДРИЧЕСКИХ ЭЛЛИПТИЧЕСКИХ ОБОЛОЧЕК ПРИ ДЕЙСТВИИ КРУТЯЩЕГО И ИЗГИБАЮЩЕГО МОМЕНТОВ

Л. П. Железнов, В. В. Кабанов, Д. В. Бойко

Сибирский научно-исследовательский институт авиации им. С. А. Чаплыгина,  
630051 Новосибирск

Решена задача нелинейного деформирования и устойчивости некруговых цилиндрических оболочек при комбинированном нагружении с использованием вариационного метода конечных элементов в перемещениях. Разработан алгоритм численного исследования задачи. Исследована устойчивость цилиндрических оболочек с эллиптическим контуром поперечного сечения при совместном действии кручения и изгиба. Определено влияние эллиптичности и нелинейности деформирования оболочек в исходном состоянии на величину критических нагрузок и форму потери устойчивости.

Ключевые слова: цилиндрические эллиптические оболочки, кручение с изгибом, нелинейное деформирование, устойчивость, метод конечных элементов.

**1. Конечный элемент и алгоритм решения задачи.** Рассмотрим некруговую консольно защемленную ( $u = v = w = \partial w / \partial x = 0$ ) цилиндрическую оболочку, находящуюся под действием краевого крутящего момента  $M_k$  и краевого изгибающего момента  $M$  (рис. 1). Нагруженный край оболочки подкреплен жестким в своей плоскости шпангоутом. Действие крутящего момента заменим действием погонных краевых касательных усилий  $S = M_k / (2\omega)$  ( $\omega = \pi ab$  — площадь в свету поперечного сечения оболочки;  $a, b$  — полуоси эллипса). Действие изгибающего момента  $M$  заменим действием неоднородных по окружности оболочки осевых усилий  $T = Mz_1 / J$  ( $z_1$  — расстояние от точек контура оболочки до оси эллипса  $AA$ ;  $J$  — момент инерции поперечного сечения относительно оси  $AA$ ).

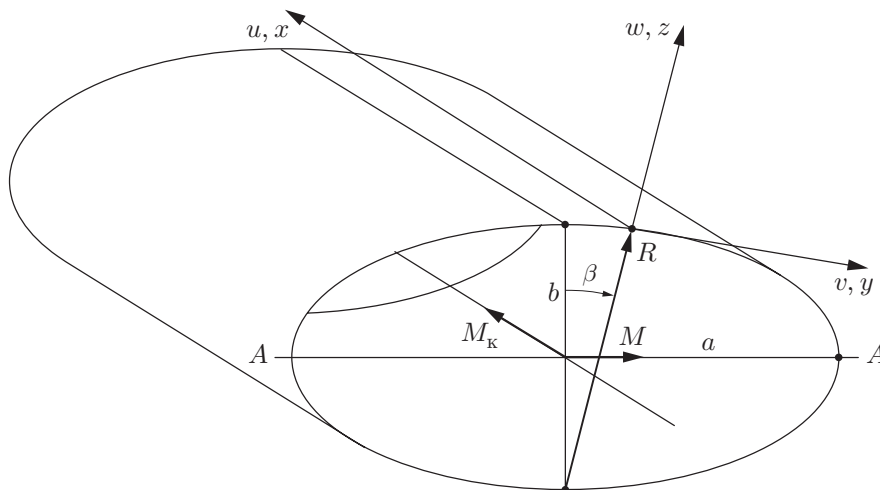


Рис. 1

Разобьем оболочку линиями главных кривизн на  $m$  частей по образующей и на  $n$  частей по направляющей. Таким образом, оболочку представим набором  $m \times n$  криволинейных прямоугольных конечных элементов. Используя билинейную аппроксимацию деформационных тангенциальных перемещений, бикубическую аппроксимацию для прогиба и перемещения конечных элементов как твердых тел, для полных перемещений точек конечного элемента запишем выражения

$$\begin{aligned} u &= a_1xy + a_2x + a_3y + a_4 + a_6\psi_2 + a_{20}\psi_1, \\ v &= a_5xy + a_6xc + a_7y + a_8(\psi_1c + \psi_2s) - a_{20}xs + a_{23}c - a_{24}s, \\ w &= a_9x^3y^3 + a_{10}x^3y^2 + a_{11}x^3y + a_{12}x^3 + a_{13}x^2y^3 + a_{14}x^2y^2 + a_{15}x^2y + a_{16}x^2 + \\ &+ a_{17}xy^3 + a_{18}xy^2 + a_{19}xy + a_{20}xc + a_{21}y^3 + a_{22}y^2 + a_{23}s + a_{24}c + a_6xs + a_8(\psi_1s - \psi_2c). \end{aligned} \quad (1.1)$$

Здесь для произвольной оболочки [1]  $\psi_1 = \int Rs d\beta$ ,  $\psi_2 = -\int Rc d\beta$ ,  $c = \cos \beta$ ,  $s = \sin \beta$ ;  $R$  — радиус кривизны контура оболочки.

Для эллиптической оболочки

$$\frac{z^2}{b^2} + \frac{y^2}{a^2} = 1, \quad R = \frac{a^2b^2}{d^3}, \quad d^2 = a^2s^2 + b^2c^2, \quad \psi_1 = -\frac{b^2c}{d}, \quad \psi_2 = -\frac{a^2s}{d}.$$

В матричной форме (1.1) имеет вид

$$\tilde{\mathbf{u}} = P\mathbf{a}, \quad (1.2)$$

где  $\tilde{\mathbf{u}} = \{u, v, w\}^T$  — вектор перемещений точек срединной поверхности конечного элемента;  $\mathbf{a} = \{a_1, \dots, a_{24}\}^T$  — вектор неизвестных коэффициентов  $a_i$ ;  $P$  — матрица связи размерности  $3 \times 24$ , элементами которой являются множители  $p_{ij}$  при коэффициентах  $a_i$  в функциях (1.1). Выразив коэффициенты  $a_i$  через узловые неизвестные, получим

$$\mathbf{a} = B^{-1}\bar{\mathbf{u}}, \quad (1.3)$$

где  $\bar{\mathbf{u}} = \{u_i, v_i, w_i, \vartheta_{1i}, \vartheta_{2i}, w_{xyi}, u_j, v_j, w_j, \vartheta_{1j}, \vartheta_{2j}, w_{xyj}, u_k, \dots, w_{xyk}, u_n, \dots, w_{xyn}\}^T$  — вектор узловых перемещений, углов поворотов и смешанных производных прогиба;  $B$  — матрица размерности  $24 \times 24$ , ненулевые элементы которой имеют вид

$$\begin{aligned} b_{1,j} &= p_{1,j}, & b_{2,j} &= p_{2,j}, & b_{3,j} &= p_{3,j}, & b_{4,j} &= (p_{3,j})_x, \\ b_{5,j} &= (p_{2,j} - (p_{3,j})_y)/R, & b_{6,j} &= (p_{3,j})_{xy} & (x = -a_1, & y = -b_1), \\ b_{7,j} &= p_{1,j}, & b_{8,j} &= p_{2,j}, & b_{9,j} &= p_{3,j}, & b_{10,j} &= (p_{3,j})_x, \\ b_{11,j} &= (p_{2,j} - (p_{3,j})_y)/R, & b_{12,j} &= (p_{3,j})_{x\beta} & (x = -a_1, & y = b_1), \\ b_{13,j} &= p_{1,j}, & b_{14,j} &= p_{2,j}, & b_{15,j} &= p_{3,j}, & b_{16,j} &= (p_{3,j})_x, \\ b_{17,j} &= (p_{2,j} - (p_{3,j})_\beta)/R, & b_{18,j} &= (p_{3,j})_{xy} & (x = a_1, & y = -b_1), \\ b_{19,j} &= p_{1,j}, & b_{20,j} &= p_{2,j}, & b_{21,j} &= p_{3,j}, & b_{22,j} &= (p_{3,j})_x, \\ b_{23,j} &= (p_{2,j} - (p_{3,j})_y)/R, & b_{24,j} &= (p_{3,j})_{xy} & (x = a_1, & y = b_1), \\ j &= 1, \dots, 24, & a_1 &= L/(2m), & b_1 &= l/(2n) \end{aligned}$$

( $L, l$  — характерные размеры оболочки вдоль образующей и направляющей; индексы  $x, y, \beta$  обозначают частное дифференцирование по  $x, y, \beta$ ).

Подставив (1.3) в (1.2), получим зависимость перемещений точек элемента от узловых неизвестных

$$\tilde{\mathbf{u}} = PB^{-1}\bar{\mathbf{u}}.$$

В каждом узле имеется 6 неизвестных, так что конечный элемент имеет 24 степени свободы. Узловые неизвестные будем определять, используя вариационное уравнение Лагранжа  $\delta\Pi = 0$ , где  $\Pi$  — потенциальная энергия оболочки. При записи выражения для потенциальной энергии используем нелинейные соотношения между деформациями и перемещениями [2]. Уравнение  $\delta\Pi = 0$  приводит к системе нелинейных алгебраических уравнений относительно узловых неизвестных. Эта система решается шаговым методом по нагрузке с использованием на каждом шаге метода линеаризации Ньютона — Канторовича, уравнение которого можно записать [3] в виде

$$H(\bar{\mathbf{u}}^n)\Delta\bar{\mathbf{u}} = \mathbf{q}_e - \mathbf{G}(\bar{\mathbf{u}}^n), \quad \bar{\mathbf{u}}^{n+1} = \bar{\mathbf{u}}^n + \Delta\bar{\mathbf{u}}, \quad (1.4)$$

где  $H$  — матрица Гессе оболочки, которая определяется из второй вариации потенциальной энергии деформации;  $\mathbf{q}_e$  — вектор узловой нагрузки;  $\mathbf{G}$  — градиент потенциальной энергии деформации. Уравнения (1.4) строятся стандартным способом с учетом граничных условий [4]. Граничные условия формулируются в следующем виде. Для нулевых узловых граничных перемещений соответствующая строка матрицы Гессе  $H$  граничного элемента и соответствующий элемент вектора узловой нагрузки обнуляются, а вместо диагонального коэффициента в матрице  $H$  ставится большое число.

Система линейных алгебраических уравнений (1.4) решается методом Краута с использованием разложения матрицы Гессе  $H = L^TDL$  ( $D$  — диагональная матрица;  $L$  — треугольная матрица). После определения узловых перемещений по известным формулам из [2] находятся напряжения и деформации. Контроль устойчивости осуществляется проверкой положительной определенности матрицы Гессе, что сводится к проверке положительности элементов диагональной матрицы  $D$ . Появление отрицательных элементов соответствует потере устойчивости оболочки. После нахождения значения параметра нагрузки, при котором равновесное состояние неустойчиво, определяется форма потери устойчивости оболочки из решения системы  $H\delta = 0$ , где  $\delta$  — вектор бифуркационных узловых перемещений. Для этого определяется строка матрицы  $H$ , соответствующая первому отрицательному элементу матрицы  $D$ . Эта строка и соответствующий столбец матрицы  $H$  обнуляются. Вместо диагонального коэффициента ставится единица, а в правую часть системы переносится соответствующий столбец, умноженный на докритическое перемещение, соответствующее вырожденной строке. Из решения полученной таким образом системы и определяется форма потери устойчивости оболочки.

**2. Результаты численного исследования задачи нелинейного деформирования и устойчивости эллиптических оболочек.** Расчеты проводились при следующих значениях параметров: длина оболочек  $L = 500, 1100$  мм, толщина  $h = 5$  мм, модуль упругости  $E = 0,7 \cdot 10^5$  МПа, коэффициент Пуассона  $\nu = 0,3$ , эквипериметрический радиус (радиус поперечного сечения круговой оболочки с периметром  $P$ , равным периметру эллиптической оболочки  $R_0 = 1000$  мм. Величина  $R_0$  определялась по формуле

$$R_0 = \frac{P}{2\pi} = \frac{2a}{\pi} \int_0^{\pi/2} \left\{ 1 + \left[ \left( \frac{b}{a} \right)^2 - 1 \right] \sin^2 \psi \right\}^{1/2} \delta\psi = \frac{2a}{\pi} E\left(\frac{\pi}{2}, \frac{b}{a}\right),$$

где  $E(\pi/2, b/a)$  — полный эллиптический интеграл второго рода.

На рис. 2 для оболочки с размерами  $h = 5$  мм и  $L = 500$  мм в случае отдельного действия моментов показаны зависимости параметров  $k_m = M^*/M_0$ ,  $k_p = M_k^*/M_{k0}$  от параметра эллиптичности  $a/b$  в случае линейного (штриховые кривые) и нелинейного (сплошные кривые) исходных напряженно-деформированных состояний ( $M^*$ ,  $M_k^*$  — критические значения изгибающего и крутящего моментов;  $M_0 = \pi ER_0 h^2 / \sqrt{3(1 - \nu^2)}$ ),

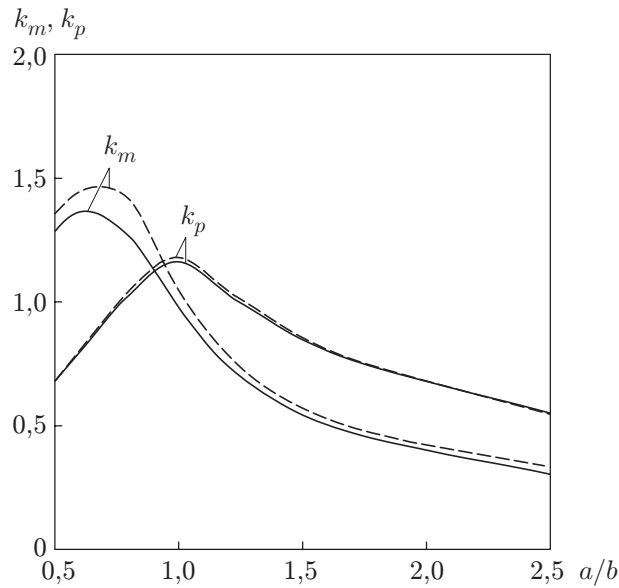


Рис. 2

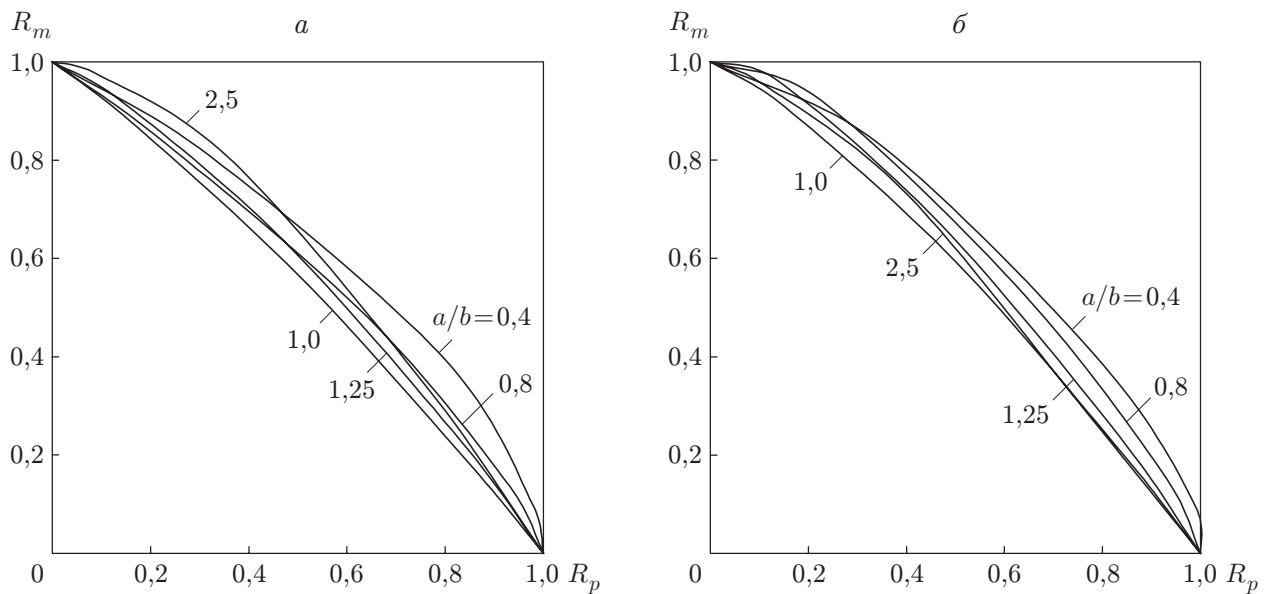


Рис. 3

$M_{к0} = 2\pi CR_0^2 S_b$  — критические значения изгибающего и крутящего моментов для эквипериметрической круговой цилиндрической оболочки;  $S_b = 0,78Eh(h/R_0)^{5/4}(R_0/L)^{1/2}$ ;  $C = 0,953$ ). С увеличением эллиптичности значения  $k_p$  уменьшаются почти пропорционально отношению малой полуоси к большой. Наиболее устойчивой оказывается круговая эквипериметрическая оболочка ( $k_p = 1,16$ ). Такая же закономерность имеет место при изгибе сплюснутых по высоте ( $a/b > 1$ ) оболочек. Вытянутые по высоте оболочки ( $a/b < 1$ ) оказываются более устойчивыми по сравнению с эквипериметрическими круговыми оболочками за счет увеличения момента инерции поперечного сечения (эффект двутавра). Наиболее устойчивы оболочки с  $a/b \approx 0,7$  ( $k_m = 1,34$ ). Нелинейность оказывает незначительное влияние. В случае изгиба оно больше: различие критических моментов достигает 10 %.

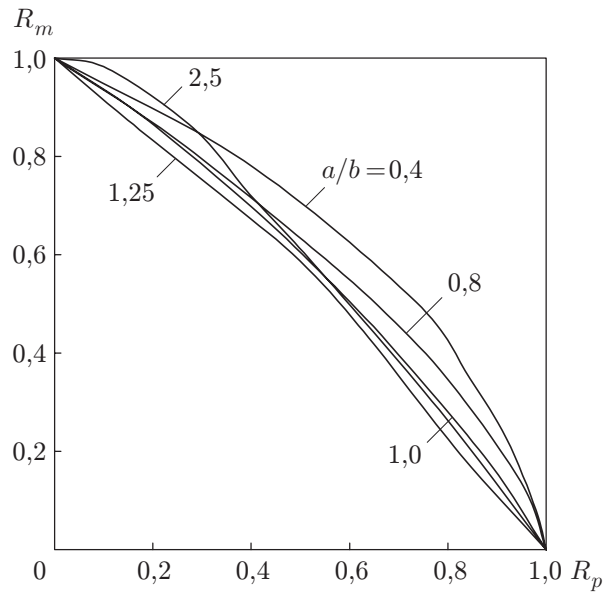


Рис. 4

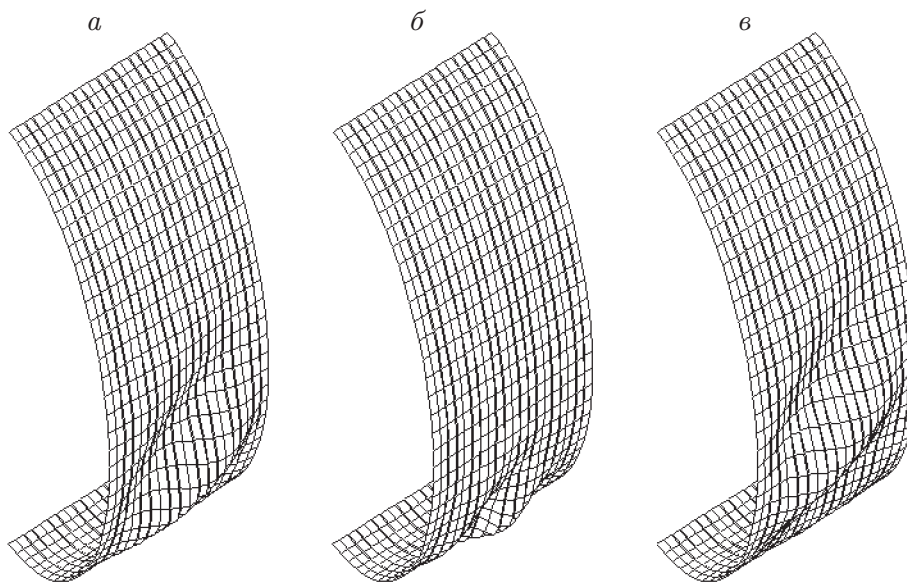


Рис. 5

На рис. 3, *a, б* для оболочек с размерами  $h = 5$  мм и  $L = 500$  мм показаны зависимости  $R_m(R_p)$  в случае линейного и нелинейного исходных напряженно-деформированных состояний соответственно при различных значениях параметра эллиптичности ( $R_m = k_m/k_{m0} = M^*/M_p^*$ ;  $R_p = k_p/k_{p0} = M_k^*/M_{kp}^*$ ;  $k_{m0}$ ,  $k_{p0}$ ,  $M_p^*$ ,  $M_{kp}^*$  — критические значения параметров  $k_m$ ,  $k_p$  и моментов  $M$ ,  $M_k$  при раздельном нагружении). Из рис. 3 следует, что влияние нелинейности исходного состояния на зависимость  $R_m(R_p)$  незначительно.

На рис. 4 показаны зависимости  $R_m(R_p)$  для длинной оболочки ( $h = 5$  мм,  $L = 1100$  мм) в случае линейного исходного напряженно-деформированного состояния.

Форма потери устойчивости оболочек существенно зависит как от длины и параметра эллиптичности оболочек, так и от отношения  $k_m/k_p$ . При  $k_m/k_p < 1$ ,  $a/b < 1$  оболочки теряют устойчивость с образованием одной — трех наклонных складок на боковой

поверхности оболочки, причем с увеличением параметра  $a/b$  и отношения  $k_m/k_p$  волнообразование смещается с боковой поверхности на нижнюю часть оболочки, а число волн уменьшается с трех до одной. Высокие оболочки при  $k_m/k_p < 1$  теряют устойчивость в результате действия касательных усилий с образованием трех наклонных складок. При  $k_m/k_p > 1$  оболочки теряют устойчивость в нижней части в результате действия максимальных сжимающих осевых усилий с образованием ромбовидных вмятин. На рис. 5, а–в показаны формы потери устойчивости оболочки с размерами  $L = 1100$  мм,  $h = 5$  мм,  $a/b = 0,4$  при кручении, изгибе и совместном действии изгиба и кручения ( $k_m/k_p = 1$ ) соответственно.

Приведенные выше результаты исследований получены на сетке конечных элементов, обеспечивающей сходимость решения.

#### ЛИТЕРАТУРА

1. **Железнов Л. П., Кабанов В. В.** Исследование нелинейного деформирования и устойчивости некруговых цилиндрических оболочек при осевом сжатии и внутреннем давлении // ПМТФ. 2002. Т. 43, № 4. С. 155–160.
2. **Григолюк Э. И., Кабанов В. В.** Устойчивость оболочек. М.: Наука, 1978.
3. **Астрахарчик С. В., Железнов Л. П., Кабанов В. В.** Исследование нелинейного деформирования и устойчивости оболочек и панелей ненулевой гауссовой кривизны // Изв. РАН. Механика твердого тела. 1994. № 2. С. 102–108.
4. **Кабанов В. В., Астрахарчик С. В.** Нелинейное деформирование и устойчивость подкрепленных цилиндрических оболочек при изгибе // Пространственные конструкции в Красноярском крае: Сб. науч. тр. Красноярск: Краснояр. инж.-строит. ин-т, 1985. С. 75–83.

*Поступила в редакцию 31/III 2003 г.*

---